



参考文献

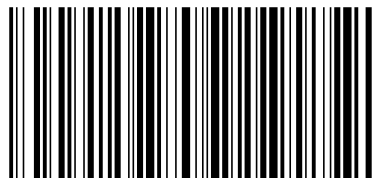
- [1] K. BEISSNER, On the plane-wave approximation of acoustic intensity, *J. Acoust. Soc. Am.* 71, 1406—1411 (1982).
- [2] G. R. HARRIS, A model of the effects of hydrophone and amplifier response on ultrasound exposure measurements, *IEEE Trans. Ultrason. Ferroelec. Freq. Contr. UFFC-38*, 413—417 (1991).
- [3] R. C. PRESTON, D. R. BACON and R. A. SMITH, Calibration of medical ultrasonic equipment-procedures and accuracy assessment, *IEEE Trans. Ultrason. Ferroelec. Freq. Contr. UFFC-35*, 110—121 (1988).
- [4] R. A. SMITH, Are hydrophones of diameter 0.5 mm small enough to characterise diagnostic ultrasound equipment?, *Phys. Med. Biol.* 34, 1593—1607 (1989).
- [5] D. R. BACON, Finite amplitude distortion of the pulsed field used in diagnostic ultrasound, *Ultrasound in Med. Biol.* 10, 189—195 (1984).
- [6] F. A. DUCK and H. A. STARRITT, Acoustic shock generation by ultrasonic imaging equipment, *Brit. J. Radiol.* 57, 231—240 (1984).
- [7] R. A. SMITH, The importance of the frequency response of a hydrophone when characterising medical ultrasonic fields, *Proc. Inst. Acoustics* 8, Part 2, 119—128 (1986).
- [8] D. G. SHOMBERT and G. R. HARRIS, Use of miniature hydrophones to determine intensities typical of medical ultrasound devices, *IEEE Trans. Ultrason. Ferroelec. Freq. Contr. UFFC-33*, 287—294 (1986).
- [9] D. R. BACON, Characteristics of a pvdf membrane hydrophone for use in the range 1-100 MHz, *IEEE Trans. Sonics Ultrason. SU-29*, 18—25 (1982).
- [10] AIUM/NEMA, Safety standard for diagnostic ultrasound equipment, National Electrical Manufacturers Association, Washington, Publication UL 1—1981 (1981).
- [11] D. G. SHOMBERT, S. W. SMITH and G. R. HARRIS, Angular response of miniature ultrasonic hydrophones, *Med. Phys.* 9, 484—492 (1982).
- [12] R. A. SMITH, The evaluation of small area hydrophones, NPL Report RSA(EXT)2, National Physical Laboratory, Teddington, Middlesex, TW11 OLW, UK (1989).
- [13] B. ZEQIRI, The influence of waveform distortion on hydrophone spatial-averaging corrections—Theory and measurement, *J. Acoust. Soc. Am.* 92, 1809—1821 (1992).

中华人民共和国医药行业标准

YY/T 1088—2007/IEC 61220:1993
代替 YY/T 91088—1999在 0.5 MHz 至 15 MHz 频率范围内
采用水听器测量与表征医用超声
设备声场特性的导则

**Guidance for the measurement and
characterization of ultrasonic fields generated by medical ultrasonic equipment
using hydrophones in the frequency range 0.5 MHz to 15 MHz**

(IEC 61220:1993, IDT)



YY/T 1088-2007

版权专有 侵权必究

书号: 155066 · 2-17701

定价: 16.00 元

2007-01-31 发布

2008-01-01 实施

国家食品药品监督管理局 发布

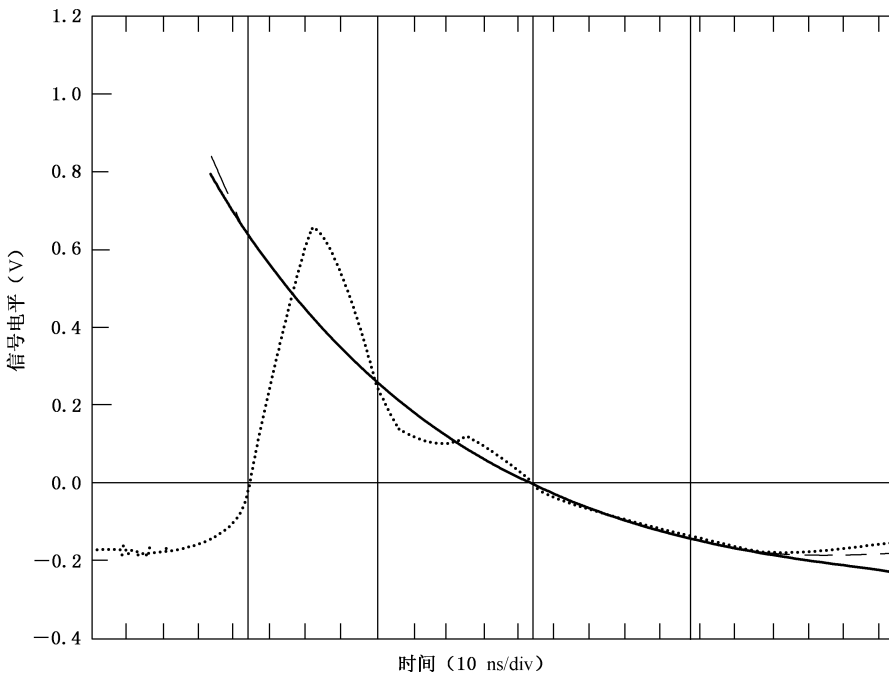


图 A.3 将类似于图 A.1 中所示的拟合过程运用于采用水听器和带宽约为 23 MHz 的测量系统测得的声脉冲波形

中华人民共和国医药
行业标准
在 0.5 MHz 至 15 MHz 频率范围内
采用水听器测量与表征医用超声
设备声场特性的导则
YY/T 1088—2007/IEC 61220:1993
*
中国标准出版社出版发行
北京复兴门外三里河北街 16 号
邮政编码:100045
网址 www.spc.net.cn
电话:68523946 68517548
中国标准出版社秦皇岛印刷厂印刷
各地新华书店经销
*
开本 880×1230 1/16 印张 1 字数 27 千字
2007 年 7 月第一版 2007 年 7 月第一次印刷
*
书号: 155066 · 2-17701 定价 16.00 元

如有印装差错 由本社发行中心调换
版权所有 侵权必究
举报电话:(010)68533533

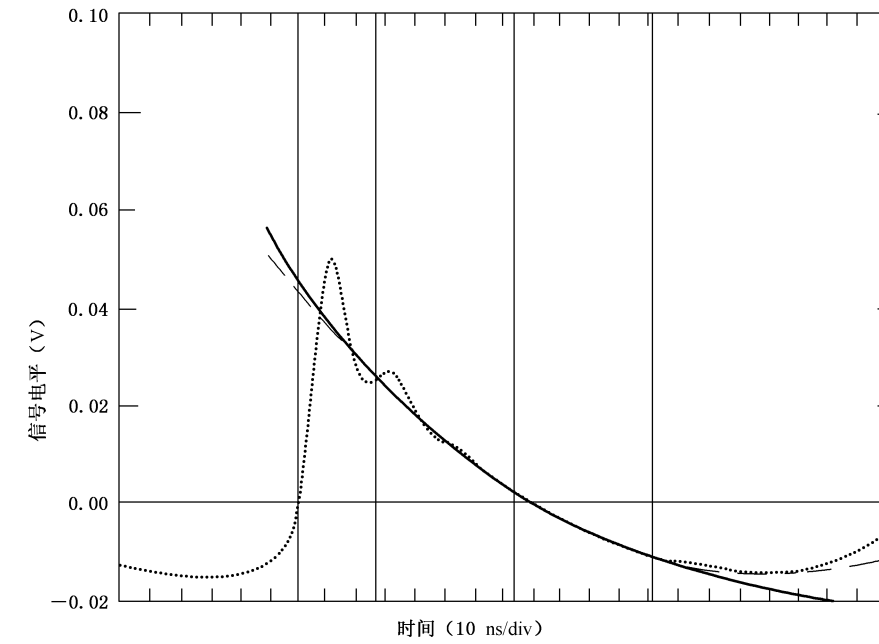


图 A.4 将类似于图 A.1 中所示的拟合过程运用于采用水听器和带宽约为 40 MHz 的测量系统测得的声脉冲波形

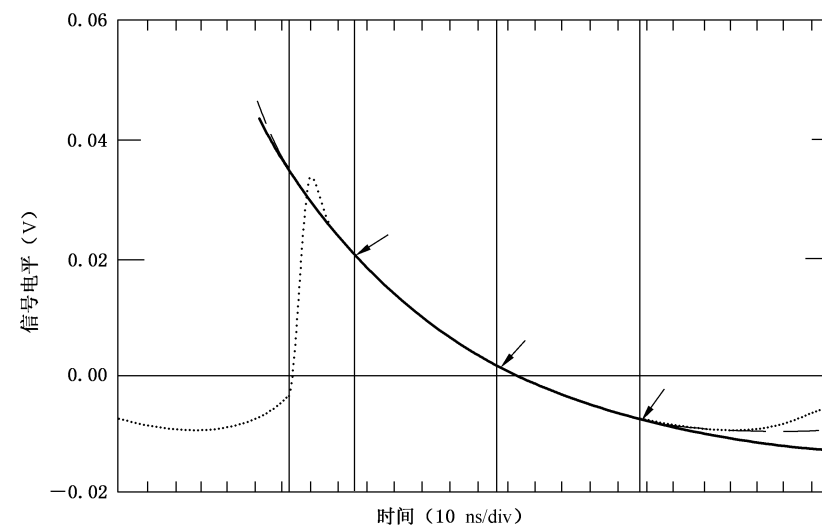


图 A.1 超声诊断扫描仪产生的典型声脉冲波形(虚线表示),用以说明就非线性传播的影响对波形进行修正所用的方法。图中,短划线对应的是椭圆拟合,实线对应的是指数拟合(其右下边落在实测波形之下)。所画的几条垂直线分别通过过零点和实测波形上用于拟合的三个点(用箭头标出)。此处所用水听器和测量系统的带宽约为 75 MHz

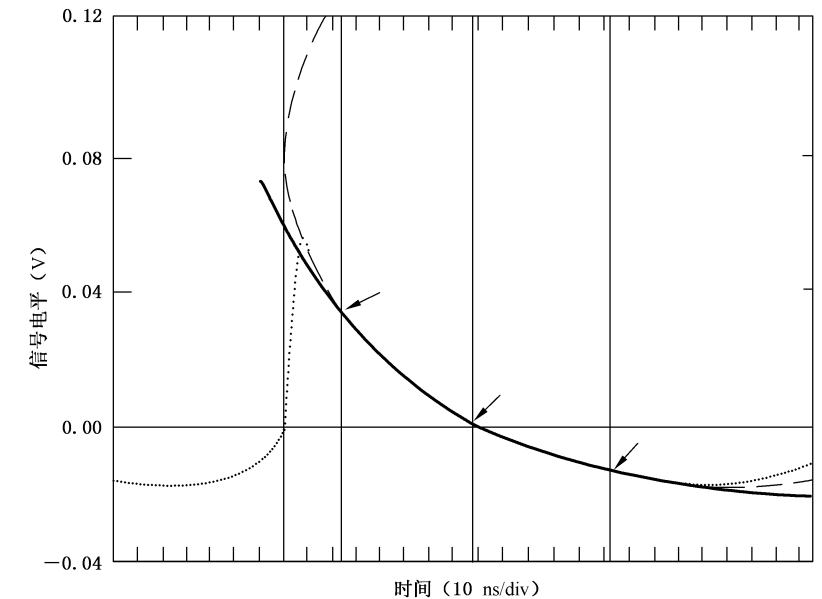


图 A.2 典型的失真声脉冲波形(虚线表示),用以说明椭圆拟合法(以短划线表示)的失败和指教拟合法(以实线表示,其右下边落在实测波形之下)的成功

前言

本标准代替 YY/T 91088—1999《医用超声诊断设备脉冲声强测量方法》。

本标准原名称是《医用超声诊断设备脉冲声强测量方法》,由于脉冲声强的测量方法在后来发布的 GB/T 16540—1996《声学 在 0.5 MHz 至 15 MHz 的频率范围内的超声场特性及其测量 水听器法》(eqv IEC 61102: 1991)里有更全面的规定,为了给医用超声诊断设备的超声场特性测量提供指南,本次修订采用了 IEC 61220:1993《超声——声场——0.5 MHz 至 15 MHz 频率范围内采用水听器测量与表征医用超声设备声场特性的导则》。

本标准与 IEC 61220:1993《超声——声场——0.5 MHz 至 15 MHz 频率范围内采用水听器测量与表征医用超声设备声场特性的导则》的一致程度为等同,主要差异如下:

- 将标准名称按我国标准惯例作了简化。
- 删除了国际标准的前言。
- 将表格的格式按 GB/T 1.1 的规定进行了修改。

本标准的附录 A 是资料性附录。

本标准由国家食品药品监督管理局提出。

本标准由全国医用超声设备标准化分技术委员会归口。

本标准由国家武汉医用超声波仪器质量监督检测中心、中国科学院声学研究所起草。

本标准起草人:白德念、牛凤岐、忙安石、王志俭。

本标准的历次版本为:

- ZB C41 008—1985;
- YY/T 91088—1999。